



Московский государственный университет имени М.В.Ломоносова
Факультет вычислительной математики и кибернетики
Кафедра системного программирования

Егоров Илья Георгиевич
группа 627

Суперкомпьютерное моделирование и технологии
Многопоточная реализация с использованием OpenMP
решения гиперболического уравнения в частных производных
на трехмерном прямоугольном параллелепипеде

ОТЧЁТ

Москва, 2025, 23 Октября

Содержание

1	Описание задания и программной реализации	3
1.1	Постановка задачи	3
1.2	Численный метод решения задачи	3
1.3	Программная реализация	4
2	Исследование производительности	5
2.1	Характеристики вычислительной системы	5
2.1.1	Параллельное ускорение	5

1 Описание задания и программной реализации

1.1 Постановка задачи

В трёхмерной замкнутой области $\Omega = [0, L_x] \times [0, L_y] \times [0, L_z]$ для $t \in [0, T]$ требуется найти решение $u(x, y, z, t)$ задачи

$$\begin{cases} u_{tt}(x, y, z, t) = a^2 \Delta u(x, y, z, t) \\ u(x, y, z, 0) = \phi(x, y, z) \\ u_t(x, y, z, 0) = 0 \\ u(0, y, z, t) = u(L_x, y, z, t) = 0 \\ u(x, 0, z, t) = u(x, L_y, z, t) \\ u(x, y, 0, t) = u(x, y, L_z, t) = 0 \end{cases} \quad (1)$$

где $u(x, y, z, t) = \sin \frac{\pi x}{L_x} \sin \frac{2\pi y}{L_y} \sin \frac{3\pi z}{L_z} \cos(a_t t)$, $a_t = \frac{\pi}{2} \sqrt{\frac{1}{L_x} + \frac{4}{L_y} + \frac{9}{L_z}}$ — точное аналитическое решение, $\phi(x, y, z) = u(x, y, z, 0) = \sin \frac{\pi x}{L_x} \sin \frac{2\pi y}{L_y} \sin \frac{3\pi z}{L_z}$ и $a^2 = \frac{1}{4}$.

1.2 Численный метод решения задачи

Пусть заданы $N, K \in \mathbb{N}$, тогда пусть $h_x = \frac{L_x}{N}$, $h_y = \frac{L_y}{N}$, $h_z = \frac{L_z}{N}$, $\tau = \frac{T}{K}$ и $\omega_{h\tau} = \overline{\omega_h} \times \omega_\tau$, где

$$\overline{\omega_h} = \{(x_i, y_j, z_k) | x_i = ih_x, y_j = jh_y, z_k = kh_z, i, j, k \in \overline{0, N}\}$$

$$\omega_\tau = \{t = n\tau, n \in \overline{0, K}\}$$

Пусть $\omega_h = \text{int} \overline{\omega_h}$, т.е. внутренние узлы сетки.

Пусть $u_{ijk}^n = u(x_i, y_j, z_k, t_n)$, $\phi_{ijk} = \phi(x_i, y_j, z_k)$

Тогда

$$\begin{aligned} u_{0jk}^n &= u_{Njk}^n = u_{ij0}^n = u_{ijN}^n = 0, & i, j, k \in \overline{0, N}, n \in \overline{0, K} \\ u_{i0k}^n &= u_{iNk}^n, u_{i1k}^n = u_{iN+1k}^n, & i, k \in \overline{0, N}, n \in \overline{0, K} \\ u_{ijk}^0 &= \phi_{ijk} = \phi_{ijk} = \phi(x_i, y_j, z_k), & (x_i, y_j, z_k) \in \omega_h \\ u_{ijk}^1 &= u_{ijk}^0 + \frac{a^2 \tau^2}{2} \Delta_h \phi_{ijk} & (x_i, y_j, z_k) \in \omega_h \\ u_{ijk}^{n+1} &= 2u_{ijk}^n - u_{ijk}^{n-1} + \Delta_h u_{ijk}^n & (x_i, y_j, z_k) \in \omega_h \end{aligned}$$

Здесь Δ_h — семиточечный разностный аналог оператора Лапласа:

$$\Delta_h u_{ijk}^n = \frac{u_{i+1jk}^n - 2u_{ijk}^n + u_{i-1jk}^n}{h_x^2} + \frac{u_{ij+1k}^n - 2u_{ijk}^n + u_{ij-1k}^n}{h_y^2} + \frac{u_{ijk+1}^n - 2u_{ijk}^n + u_{ijk-1}^n}{h_z^2}$$

Будем рассматривать случай, когда $L_x = L_y = L_z = L$ и, соответственно, $h_x = h_y = h_z = h$. Для устойчивости решения требуется

$$\tau < h$$

Или же

$$\gamma = \frac{\tau}{h} < 1$$

Тогда при заданных L, N, K можно положить $T = \tau K = \gamma h K = \frac{\gamma L K}{N}$.

1.3 Программная реализация

Программа реализована на языке C++ (с++11/с++20). Для записи решения написан шаблонный класс *Grid4D*, который абстрагирует взаимодействие с памятью и индексированием. Также написаны функциональные классы *AnalyticalFunction* для инкапсуляции вычисления значения аналитической функции, *AnalyticalFunctionGrid* — обёртка, делающая то же самое, но в терминах узлов сетки, и *InitialFunctionGrid* — для вычисления начальных условий. Для непосредственного решения написан класс *Solver* с методом *solve*, возвращающий решение, — объект класса *Grid4D*, значение ошибки/погрешности и времени, затраченного на вычисление решения и ошибки.

В качестве аргументов программа получает на вход N и T — количество потоков OpenMP. Значение K согласно условиям равно 20, а L — 1 и π .

2 Исследование производительности

2.1 Характеристики вычислительной системы

Имя: ПВС «IBM Polus»

Пиковая производительность: 55.84 TFlop/s

Производительность (Linpack): 40.39 TFlop/s

Вычислительных узлов: 5

На каждом узле:

Процессоры IBM Power 8: 2

NVIDIA Tesla P100: 2

Число процессорных ядер: 20

Число потоков на ядро: 8

Оперативная память: 256 Гбайт (1024 Гбайт узел 5)

Коммуникационная сеть: Infiniband / 100 Gb

Система хранения данных: GPFS

Операционная система: Linux Red Hat 7.5

2.1.1 Параллельное ускорение

Дополнительные используемые опции компиляции: *-std=c++11 -O3 -fopenmp*.

На табл. 1 и 2 и рис. 1 и 2 хорошо видно наличие параллельного ускорения. При увеличении числа потоков до 8 включительно виден линейный характер уменьшения затраченного времени, при больших значениях рост уменьшения времени затухает, что логично с учётом того, что каждое ядро "Полюса" имеет ровно 8 потоков.

Thread Number	Node Number per Side	Solve Time (sec)	Acceleration	Error
1	128	7.768	1.000	3.13E-05
2	128	3.873	2.006	3.13E-05
4	128	1.987	3.909	3.13E-05
8	128	1.058	7.339	3.13E-05
16	128	0.716	10.851	3.13E-05
32	128	0.615	12.638	3.13E-05
1	256	59.446	1.000	2.01E-06
2	256	30.056	1.978	2.01E-06
4	256	15.187	3.914	2.01E-06
8	256	7.928	7.498	2.01E-06
16	256	5.298	11.221	2.01E-06
32	256	4.587	12.958	2.01E-06

Таблица 1: Зависимость времени решения от числа нитей процесса для $L = 1$

Thread Number	Node Number per Side	Solve Time (sec)	Acceleration	Error
1	128	7.770	1.000	3.13E-05
2	128	3.877	2.004	3.13E-05
4	128	1.990	3.905	3.13E-05
8	128	1.060	7.332	3.13E-05
16	128	0.717	10.843	3.13E-05
32	128	0.620	12.533	3.13E-05
1	256	58.713	1.000	2.01E-06
2	256	30.539	1.923	2.01E-06
4	256	15.204	3.862	2.01E-06
8	256	7.890	7.442	2.01E-06
16	256	5.041	11.647	2.01E-06
32	256	3.802	15.442	2.01E-06

Таблица 2: Зависимость времени решения от числа нитей процесса для $L = \pi$

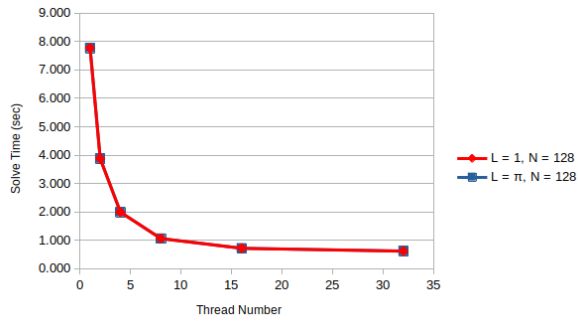


Рис. 1: Зависимость времени решения от числа нитей процесса для $N = 128$

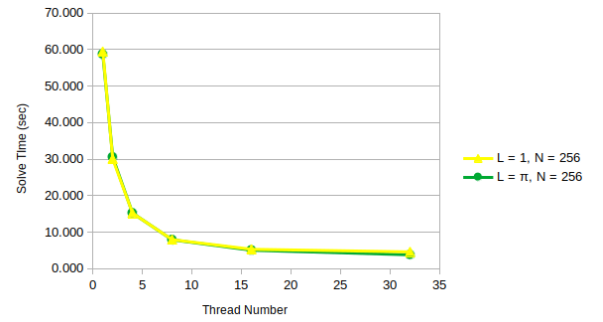


Рис. 2: Зависимость времени решения от числа нитей процесса для $N = 256$